



# INTELIGÊNCIA COMPUTACIONAL NA AVALIAÇÃO DE CÓDIGOS EM UM SISTEMA COMPLEXO DE DETECÇÃO COM DESENVOLVIMENTO COLABORATIVO

Andressa A. Sivolella Gomes

Dissertação de Mestrado apresentada ao Programa de Pós-graduação em Engenharia Elétrica, COPPE, da Universidade Federal do Rio de Janeiro, como parte dos requisitos necessários à obtenção do título de Mestre em Engenharia Elétrica.

Orientador: José Manoel de Seixas

Rio de Janeiro  
Março de 2016

INTELIGÊNCIA COMPUTACIONAL NA AVALIAÇÃO DE CÓDIGOS EM UM  
SISTEMA COMPLEXO DE DETECÇÃO COM DESENVOLVIMENTO  
COLABORATIVO

Andressa A. Sivolella Gomes

DISSERTAÇÃO SUBMETIDA AO CORPO DOCENTE DO INSTITUTO  
ALBERTO LUIZ COIMBRA DE PÓS-GRADUAÇÃO E PESQUISA DE  
ENGENHARIA (COPPE) DA UNIVERSIDADE FEDERAL DO RIO DE  
JANEIRO COMO PARTE DOS REQUISITOS NECESSÁRIOS PARA A  
OBTENÇÃO DO GRAU DE MESTRE EM CIÊNCIAS EM ENGENHARIA  
ELÉTRICA.

Examinada por:

---

Prof. Aluizio Fausto Ribeiro Araújo, D.Sc.

---

Prof. Afonso de Bediaga e Hickman, D.Sc.

---

Pesquisadora Carmen Lúcia Lodi Maidantchik, D.Sc.

RIO DE JANEIRO, RJ – BRASIL  
MARÇO DE 2016

Sivolella Gomes, Andressa A.

Inteligência Computacional na Avaliação de Códigos em um Sistema Complexo de Detecção com Desenvolvimento Colaborativo /Andressa A. Sivolella Gomes. – Rio de Janeiro: UFRJ/COPPE, 2016.

XI, 19 p.: il.; 29,7cm.

Orientador: José Manoel de Seixas

Dissertação (mestrado) – UFRJ/COPPE/Programa de Engenharia Elétrica, 2016.

Referências Bibliográficas: p. 17 – 18.

1. Mineração de códigos. 2. Métodos ensemble com árvores. 3. Plataforma colaborativa. I. Manoel de Seixas, José. II. Universidade Federal do Rio de Janeiro, COPPE, Programa de Engenharia Elétrica. III. Título.

*A todo mundo, geralção.*

# Agradecimentos

Gostaria de agradecer a todos.

Resumo da Dissertação apresentada à COPPE/UFRJ como parte dos requisitos necessários para a obtenção do grau de Mestre em Ciências (M.Sc.)

INTELIGÊNCIA COMPUTACIONAL NA AVALIAÇÃO DE CÓDIGOS EM UM  
SISTEMA COMPLEXO DE DETECÇÃO COM DESENVOLVIMENTO  
COLABORATIVO

Andressa A. Sivolella Gomes

Março/2016

Orientador: José Manoel de Seixas

Programa: Engenharia Elétrica

Apresenta-se, nesta tese, ...

Abstract of Dissertation presented to COPPE/UFRJ as a partial fulfillment of the requirements for the degree of Master of Science (M.Sc.)

COMPUTATIONAL INTELLIGENCE IN SOURCE CODE ASSERTION IN A  
COMPLEX SYSTEM IN A COLLABORATIVE DEVELOPMENT  
ENVIROMENT

Andressa A. Sivolella Gomes

March/2016

Advisor: José Manoel de Seixas

Department: Electrical Engineering

In this work, we present ...

# Sumário

<b>Lista de Figuras</b>	<b>x</b>
<b>Lista de Tabelas</b>	<b>xi</b>
<b>1 Introdução</b>	<b>1</b>
1.1 Motivação . . . . .	1
1.2 Objetivos . . . . .	1
1.3 Organização do documento . . . . .	1
<b>2 A Colaboração ATLAS do CERN</b>	<b>2</b>
2.1 CERN e LHC . . . . .	2
2.2 Experimento ATLAS . . . . .	3
2.3 Calorímetro Hadrônico de Telhas (TileCal) . . . . .	4
2.3.1 Análise <i>Online</i> e <i>Offline</i> . . . . .	6
2.3.2 A colaboração TileCal . . . . .	6
<b>3 Plataforma web Tile-in-ONE</b>	<b>8</b>
3.1 Fluxo de dados . . . . .	9
3.2 Novo desenvolvimento . . . . .	11
<b>4 Mineração de códigos fonte para identificação de falhas</b>	<b>13</b>
4.1 Seleção de categorias . . . . .	13
4.1.1 Analisadores Estáticos . . . . .	13
4.1.2 Medidas estatísticas e de qualidade . . . . .	13
4.2 Analisadores estáticos e Mineração de códigos no CERN . . . . .	13
<b>5 Metodologia</b>	<b>14</b>
5.1 Aquisição de dados . . . . .	14
5.2 Seleção de categorias . . . . .	14
5.3 Métodos <i>ensemble</i> e Árvore de Decisão . . . . .	14
5.4 Avaliação de classificadores . . . . .	14
<b>6 Resultados</b>	<b>15</b>



<b>7</b>	<b>Conclusões</b>	<b>16</b>
	<b>Referências Bibliográficas</b>	<b>17</b>
<b>A</b>	<b>Alguns casos</b>	<b>19</b>

# Lista de Figuras

2.1	Representação aérea do LHC e seus detectores no CERN. Extraído de [1]. . . . .	3
2.2	Esquema do detector ATLAS. Adaptado de [2] . . . . .	4
2.3	Calorímetro de Telhas do ATLAS (com suas 4 partições na cor verde) envolvendo o calorímetro de argônio líquido. O Sistema Magnético e a Câmara de Múons não estão ilustrados nesta figura. Adaptado de [3].	5
2.4	Estrutura de absorção e amostragem do TileCal. Extraído de [4] . . .	5
2.5	Esboço das células do TileCal. Extraído de [3]. . . . .	6
3.1	<i>Dashboard Web System</i> , desenvolvido em 2010 para integrar as os dados adquiridos e as análises do grupo de QD do TileCal. Mais detalhes em [5] . . . . .	9
3.2	Esquemático representando a infraestrutura da plataforma Tile-in-ONE. Em vermelho, a nova camada a ser desenvolvida. . . . .	11
3.3	Fluxo de dados da plataforma web Tile-in-ONE. . . . .	12

# Lista de Tabelas

# Capítulo 1

## Introdução

### 1.1 Motivação

### 1.2 Objetivos

### 1.3 Organização do documento

# Capítulo 2

## A Colaboração ATLAS do CERN

### 2.1 CERN e LHC

Fundado em 1954, o CERN (em francês *Centre Européen pour la Recherche Nucléaire* [6]) é o maior centro de pesquisa na área de física de partículas de altas energias no mundo. Atualmente, conta com a participação de 38 países membros e outros países colaboradores, entre eles o Brasil.

O LHC (em inglês *Large Hadron Collider* [7]) é o maior colisor de partículas já construído e encontra-se atualmente em operação no CERN. Instalado a 175 metros abaixo do solo, consiste em um grande túnel em formato anelar, com 27 km de perímetro. Quando partículas são eletricamente carregadas e submetidas a pulsos eletromagnéticos no interior de tubos tem-se o processo de aceleração de partículas. Neste processo, as partículas adquirem aceleração ao serem envolvidas a campos eletromagnéticos variantes [8]. Em aceleradores circulares, partículas são injetadas e circulam no anel até atingirem a energia desejada. Diversos experimentos podem ser realizados em determinados pontos de colisão ao longo da circunferência. O perímetro do acelerador circular é diretamente proporcional a energia necessária na colisão. Ao atingir a energia desejada, os feixes de partículas aceleradas em sentidos opostos colidem e, nesse caso, detectores em formato cilíndrico são os mais utilizados. Cada colisão gera informações que devem ser analisadas por especialistas, com objetivos distintos, tais como: identificação de sub-partículas, observação de fenômenos e a comprovação ou a eliminação de teorias físicas. Nos pontos de colisão, detectores são montados para observação e coleta de dados. Existem, por exemplo, detectores de calorimetria, para identificar a energia depositada pelas partículas colisionadas; detectores de traços, para observar trajetórias após colisões; e detectores de múons, responsáveis por absorver tais partículas.

A figura 2.1 ilustra uma representação aérea do LHC. Existem quatro detectores de partículas instalados em pontos de colisão ao longo da extensão do LHC, alta-

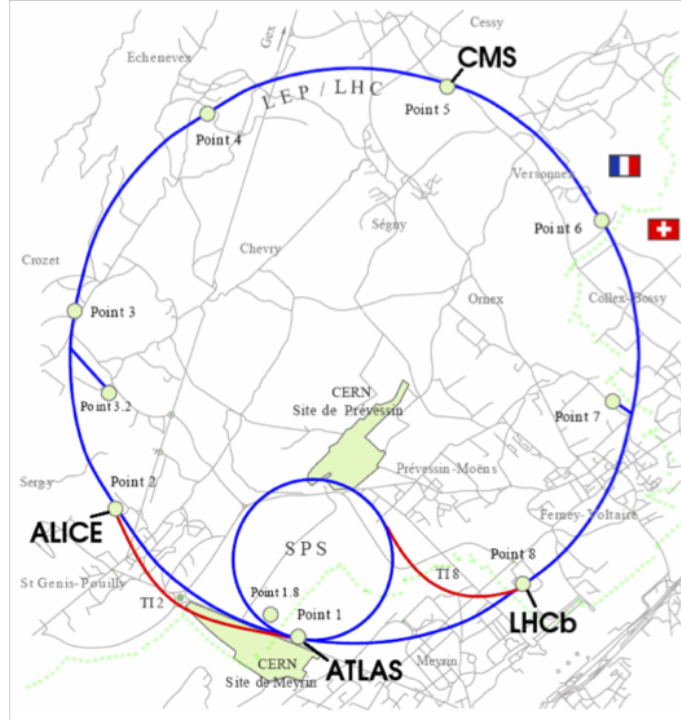


Figura 2.1: Representação aérea do LHC e seus detectores no CERN. Extraído de [1].

mente especializados: ALICE [9], ATLAS [3], CMS [10] e LHCb [11]. Os detectores ilustrados permitem obter informações detalhadas sobre a trajetória das partículas resultantes das colisões ocorridas e características energéticas, sendo possível identificar partículas. O ATLAS é o maior dos detectores do LHC.

## 2.2 Experimento ATLAS

O ATLAS (em inglês *A Toroidal LHC Apparatus*) [3] é um detector em formato cilíndrico. O detector pesa aproximadamente 7.000 toneladas, com 44 metros de comprimento por 24 metros de altura. A figura 2.2 ilustra os diversos subsistemas que compõem o detector ATLAS.

Cada subsistema apresenta uma característica específica de acordo com suas funcionalidades. São eles, da parte interna para a externa:

- Detector Interno (ID), responsável por registrar as trajetórias das partículas resultantes da colisão, bem como o momento e o sinal da carga, se for o caso;
- Sistema de Calorimetria, composto pelos calorímetros eletromagnético (LAr) e hadrônico de telhas (TileCal). Os calorímetros citados são responsáveis por medirem a energia das partículas resultantes;

- Sistema Magnético, responsável por desviar partículas carregadas para medir o momento;
- o Espectrômetro de Múons, responsável por medir a trajetória de uma determinada partícula denominada Múon.

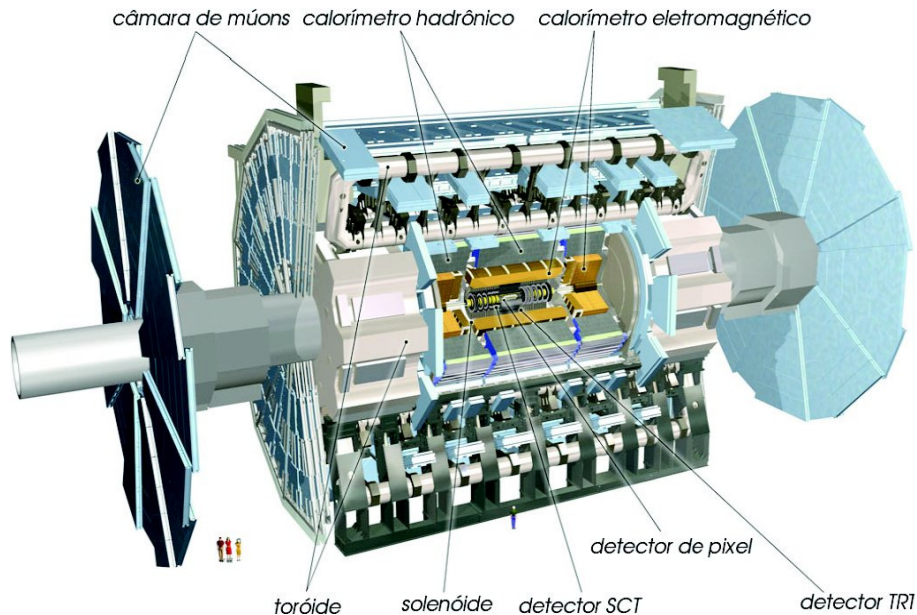


Figura 2.2: Esquema do detector ATLAS. Adaptado de [2]

O sistema de calorimetria do LHC foi projetado para absorver a energia das partículas que cruzam o detector, sendo o calorímetro hadrônico de telhas (em inglês *Tile Calorimeter* ou TileCal) é o foco deste mestrado.

## 2.3 Calorímetro Hadrônico de Telhas (TileCal)

O TileCal [4] é composto por três barris: um central (que se divide em duas partições: LBA e LBC) e dois estendidos (cada um correspondendo a mais duas partições, EBA e EBC, respectivamente), como ilustrado na figura 2.3. Cada partição é igualmente dividida em 64 partes (módulos). Os módulos do TileCal são compostos de ferro como mediadores passivos e telhas cintilantes como material ativo. A estrutura absorvedora é coberta de placas de aço de várias dimensões, conectadas a uma estrutura maciça de suporte. A principal inovação deste detector é a posição perpendicular das telhas em relação aos feixes do LHC.

A passagem de partículas ionizadas pelo TileCal produz luz no espectro. Sua intensidade é proporcional à energia depositada pela partícula. A luz produzida se propaga através das telhas para suas bordas onde é absorvida por fibras óticas e deslocada, por reflexão interna total, até os canais de leitura eletrônica ou fotomultiplicadores (em inglês *PhotoMultipliers Tubes* ou PMTs), onde é convertido em

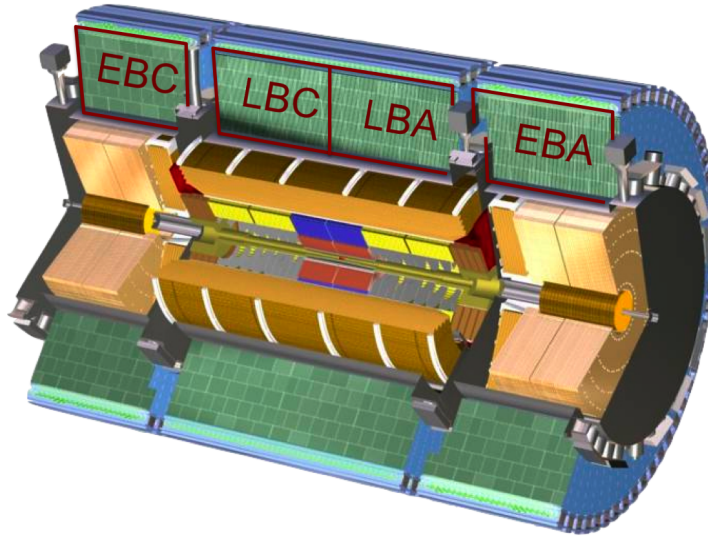


Figura 2.3: Calorímetro de Telhas do ATLAS (com suas 4 partições na cor verde) envolvendo o calorímetro de argônio líquido. O Sistema Magnético e a Câmara de Múons não estão ilustrados nesta figura. Adaptado de [3].

um sinal de corrente. Um PMT pode ser idealizado como um pulso de corrente. A figura 2.4 ilustra a estrutura de absorção e amostragem do TileCal sendo possível identificar tubos fotomultiplicadores.

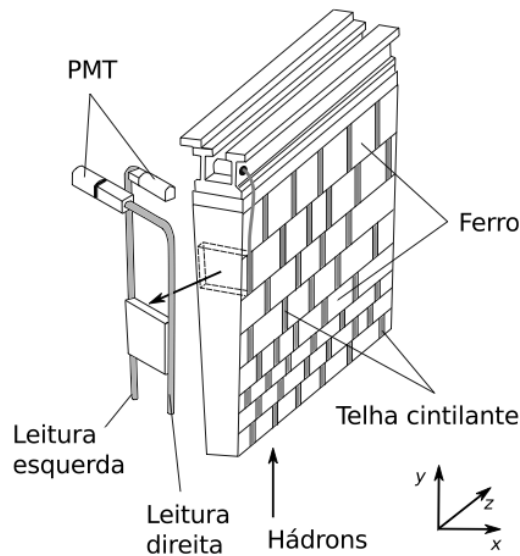


Figura 2.4: Estrutura de absorção e amostragem do TileCal. Extraído de [4]

Os módulos do barril central do detector comportam 45 canais cada, enquanto os módulos dos barris estendidos comportam 32 canais. Radialmente, cada módulo do TileCal ainda é segmentado em três camadas (A, BC e D), conhecidas como células. Estas são formadas pelo agrupamento de fibras até cada PMT. Um esboço da geometria das células é apresentado na figura 2.5. Cada módulo contém 11 linhas



transversas de telhas.

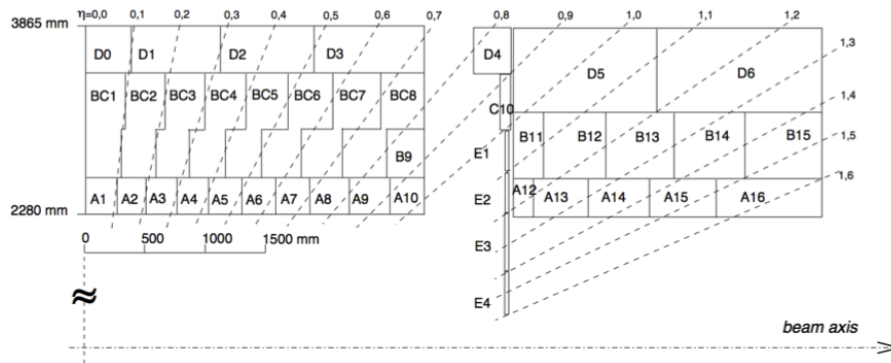


Figura 2.5: Esboço das células do TileCal. Extraído de [3].

### 2.3.1 Análise *Online* e *Offline*

Existem dois tipos de análises, comuns a todos os experimentos do LHC. O experimento ATLAS, sozinho, gera um volume de dados na ordem de 3,2 PetaBytes ao ano [12], que precisam ser processados e analisados. Nesse caso, é impraticável armazenar os dados adquiridos pelo experimento em sua totalidade para posterior análise. Por esse motivo, análises referentes a atividades anteriores ao armazenamento em mídia permanente são definidas como *online*. Já as análises que ocorrem a partir do acesso de informações em bases de dados são definidas como sendo *offline*.

As soluções abordadas neste mestrado estão contextualizadas no processo de análise *offline* do TileCal.

As análises *online* e *offline* serão descritas detalhadamente na seção 3.

### 2.3.2 A colaboração TileCal

O TileCal é composto ainda por diferentes grupos, responsáveis por atividades específicas no experimento. Cada grupo desempenha uma etapa no processo de trabalho do calorímetro. São eles:

**DAQ** (do inglês, *Data Acquisition* ou aquisição de dados) responsável pela aquisição dos sinais resultantes das interações físicas no detector;

**DCS** (do inglês, *Detector Control System*, ou sistema de controle do detector) responsável pela manutenção das fontes de alta e baixa tensão do TileCal, placas mãe e sistema de refrigeração;

**DQ** (do inglês, *Data Quality*, ou qualidade de dados) responsável por avaliar o funcionamento do detector garantindo confiabilidade nos dados adquiridos que serão analisados;

**Calibração (do inglês, *Calibration*)** responsável pela calibração das células do calorímetro e validação da escala eletromagnética, a fim de corrigir desvios que ocorrem ao longo do tempo devido a desgastes ocorridos pela exposição do detector a altos níveis de radiação;

**Computação e Software** responsável por realizar a organização e desenvolvimento da simulação, reconstrução, digitalização e desenvolvimento de filtros de alto nível;

**Dados e Processamento (do inglês, *Data and Processing*)** responsável por coletar informações dos grupos de qualidade de dados e calibração a fim de decidir que alterações nos dados de condições serão realizadas. Responsável também por analisar os dados físicos.

Existem, portanto, seis grupos no TileCal onde o compartilhamento de informações entre eles faz-se necessário: se um PMT não está sendo corretamente alimentado, a qualidade dos dados adquiridos pode ficar comprometida. Tal situação exige o compartilhamento de informações do grupo e DQ, por exemplo.

## Capítulo 3

# Plataforma web Tile-in-ONE

Diversos sistemas foram desenvolvidos ao longo das diferentes fases do experimento, cada um com um propósito específico [5]. A análise *online* tem início com a aquisição e decisão acerca do armazenamento dos dados adquiridos, que é responsabilidade do grupo TDAQ (do inglês, *Trigger and Data Acquisition*) [13]. A reconstrução dos dados pelo software para análise *offline* ATHENA [14] marca o início da análise *offline*. Em seguida, o DQMF (do inglês, *Data Quality Monitoring System*) [15] é aplicado e gera automaticamente estados para os PMTs, indicando a qualidade do tubo fotomultiplicador e reduzindo a quantidade de canais que precisam ser analisados. Nesta etapa, gráficos são gerados para auxiliar o grupo de qualidade de dados do TileCal em sua análise *offline*. Um sistema web foi desenvolvido para integrar os resultados gráficos gerados durante a etapa de reconstrução, guiando o grupo de qualidade de dados em suas análises. A figura 3.1 ilustra sistemas integrados por uma única interface web: a figura 3.1(a) corresponde a lista de dados reconstruídos e quais gráficos já estão disponíveis para a colaboração, indicando que a atuação do ATHENA foi concluída; a figura 3.1(b) exibe informação detalhada sobre um determinado módulo, acessado pela interface ilustrada anteriormente. Através deste sistema web é possível inserir comentários relacionados a performance do detector; e a figura 3.1(c) ilustra alguns gráficos gerados durante a etapa de reconstrução dos dados.

Para uma referência histórica, a lista de canais definidos como defeituosos pela colaboração (*Bad Channels List*) é armazenada no banco de dados de condicionamento, comum a todos os experimentos que compõem o LHC, o COOL DB [16]. Os sistemas MCWS (do inglês, *Monitoring & Calibration Web System*) [17] e DCS (do inglês, *Detector Control System*) [18] apoiam o grupo de qualidade de dados na análise dos quase 10.000 PMTs do calorímetro de telhas. O MCWS foi desenvolvido para exibir a lista de canais defeituosos de maneira gráfica e permite que comentários sobre o estado do detector sejam compartilhados. O sistema web DCS foi desenvolvido para monitorar as fontes de alta tensão que alimentam os PMTs.

Firefox File Edit View History Bookmarks Tools Window Help

Web Interface for Shifters

cern.ch https://twos.web.cern.ch/twos/dashboard/current/showRunList.php

Google

THE COMMISSIONING WEB SYSTEM ATLAS T2CAL UFRJ

HOME | TIMELINE

WIS

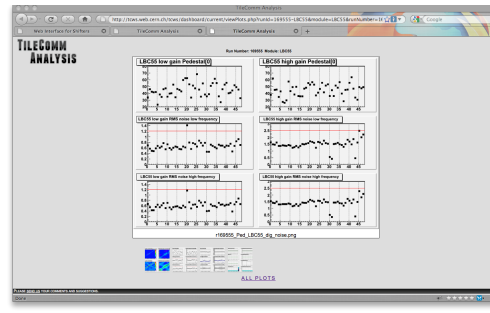
Show 25 - entries

Search:

Run Number	Run Type	Date	# of Events	Overview						# of Modules	Plots	Shifter
				OK	Some Problems	Bad	Not to be Analyzed	Not Analyzed				
201650	RampCIS	2012-04-21 12:01:49	85461	0.00%	0.00%	0.00%	0.00%	100.00%	120			
201645	RampCIS	2012-04-21 11:44:59	83310	0.00%	0.00%	0.00%	0.00%	100.00%	128			
201632	Ped	2012-04-21 11:13:12	100119	0.00%	0.00%	0.00%	0.00%	100.00%	256			
201626	Las	2012-04-21 10:48:03	100043	0.00%	0.00%	0.00%	0.00%	100.00%	256			
201625	Las	2012-04-21 10:45:18	10008	73.05%	19.53%	7.42%	0.00%	0.00%	256		Samuel Silverstein	
201619	Ped	2012-04-21 10:33:51	10213	0.00%	0.00%	0.00%	0.00%	100.00%	256			
201617	CIS	2012-04-21 10:30:20	4932	0.00%	0.00%	0.00%	0.00%	100.00%	256			
201616	MonoCIS	2012-04-21 10:27:47	10028	0.00%	0.00%	0.00%	0.00%	100.00%	256			
201583	Las	2012-04-20 15:41:24	100168	0.00%	0.00%	0.00%	0.00%	100.00%	256			
201582	Las	2012-04-20 15:38:30	10245	0.00%	0.00%	0.00%	0.00%	100.00%	256			
201572	Ped	2012-04-20 15:28:48	10178	0.00%	0.00%	0.00%	0.00%	100.00%	256			
201571	CIS	2012-04-20 15:24:51	4932	0.00%	0.00%	0.00%	0.00%	100.00%	256			
201569	MonoCIS	2012-04-20 15:22:39	10155	0.00%	0.00%	0.00%	0.00%	100.00%	256			
201500	Las	2012-04-19 10:30:10	100027	0.00%	0.00%	0.00%	0.00%	100.00%	256			
201499	Las	2012-04-19 10:27:04	10120	0.00%	0.00%	0.00%	0.00%	100.00%	256			

(a) Lista dos dados adquiridos.

Run Number	Module	Date	Run Type	Plots	Detailed Comment	Status	DQM Status	Shifter
201625	EBA01	2012-04-21 10:45:18	Las	Ch 12 high				Samuel Silverstein
201625	EBA02	2012-04-21 10:45:18	Las	Ch 4 high				Samuel Silverstein
201625	EBA03	2012-04-21 10:45:18	Las	None				Samuel Silverstein
201625	EBA04	2012-04-21 10:45:18	Las	None				Samuel Silverstein
201625	EBA05	2012-04-21 10:45:18	Las	None				Samuel Silverstein
201625	EBA06	2012-04-21 10:45:18	Las	Ch 40 dead				Samuel Silverstein
201625	EBA07	2012-04-21 10:45:18	Las	None				Samuel Silverstein
201625	EBA08	2012-04-21 10:45:18	Las	None				Samuel Silverstein
201625	EBA09	2012-04-21 10:45:18	Las	None				Samuel Silverstein



(b) Estados gerados automaticamente pelo (c) Gráficos gerados para um determinado DQMF e acesso a informações detalhadas. módulo.

Figura 3.1: *Dashboard Web System*, desenvolvido em 2010 para integrar as os dados adquiridos e as análises do grupo de QD do TileCal. Mais detalhes em [5]

É evidente que o cenário descrito é composto por diversas ferramentas (web) para apoiar em diferentes aspectos nas análises e operação de forma mais eficiente do TileCal. Tais sistemas foram desenvolvidos em diferentes fases do detector, envolvendo diferentes colaboradores, que não necessariamente ainda encontram-se envolvidos em atividades da colaboração. Além disso, a manutenção de tais ferramentas não é garantida pelos mesmos colaboradores contribuintes. Para a colaboração, seria mais fácil reunir todas as ferramentas existentes em uma única interface, que utilizasse preferencialmente a mesma tecnologia, permitindo inclusive, reutilização de códigos fonte. Tais requisitos foram contemplados com o projeto e desenvolvimento da Plataforma web Tile-in-ONE.

### 3.1 Fluxo de dados

A Plataforma Tile-in-ONE foi projetada para integrar as diferentes análises realizadas pela colaboração TileCal. Ao fornecer uma estrutura onde os colaboradores podem desenvolver códigos fonte diretamente através da web, ela integra diferen-

tes ferramentas em um único lugar. Isso garante a escolha da mesma tecnologia para todas as ferramentas desenvolvidas (linguagem Python [19]), o que torna a manutenção da plataforma mais fácil. Além disso, existe o incentivo natural para reutilização de códigos, uma vez que os desenvolvimentos encontram-se disponíveis para toda colaboração. Outra funcionalidade oferecida pela plataforma é o encapsulamento em pacotes de configurações para acessar bases de dados importantes para as análises. Isso permite que colaboradores novos não percam tempo aprendendo a acessar a informação, mas foquem na análise propriamente dita.

A figura 3.3 ilustra o fluxo de dados do Tile-in-ONE. A plataforma oferece a funcionalidade de desenvolvimento de códigos pela qual os colaboradores podem escrever seus próprios programas. Também é permitida a edição de códigos salvos ou escritos por outros usuários. Uma vez que o desenvolvimento do código é concluído, o desenvolvedor pode submeter seu código que será manipulado no lado do servidor. Este, por sua vez, irá direcionar o código em questão para uma outra máquina (nesse contexto, máquinas *slaves*), dependendo dos dados identificados pela plataforma que o código fonte a ser executado deseja acessar. Cada máquina *slave* está configurada para acessar um determinado repositório de dados utilizado para as análises da colaboração. Isso permite que os desenvolvedores se abstraiam de configurações de acesso a tais repositórios. A motivação para efetuar a execução do código fonte em outra máquina que não no servidor é evitar que ocorra sobrecarga no servidor principal e o mais importante: caso o código fonte falhe durante a execução, o servidor onde a plataforma está hospedado não fica comprometido. A figura 3.3 ilustra ainda, em vermelho, onde esta tese de mestrado irá atuar. O objetivo é criar uma etapa antes da submissão de novos códigos para máquinas *slave*, atuando, desta forma, como uma camada de segurança cujo intuito é prever quais códigos vão falhar sem a necessidade de executá-los. Esta camada consiste em um novo desenvolvimento e portanto, no momento, qualquer código pode ser submetido para ser executado na máquina *slave*.

Uma vez que o servidor web escolhe uma máquina *slave* esta tenta executar o código fonte submetido e retorna para o servidor web, de maneira estruturada, o que ocorreu durante a execução. Neste momento, o desenvolvedor do código fonte pode utilizar objetos gráficos também fornecidos pela plataforma para exibir os resultados recuperados através de seus códigos fonte. Enfim, o código fonte, a resposta obtida com a execução na máquina *slave* e os objetos gráficos são encapsulados em *Plugins* e disponibilizados em *Dashboards* para toda colaboração.

A figura 3.2 ilustra a infraestrutura atual da plataforma web Tile-in-ONE. Destaca-se em vermelho onde este mestrado pretende atuar.



Figura 3.2: Esquemático representando a infraestrutura da plataforma Tile-in-ONE. Em vermelho, a nova camada a ser desenvolvida.

## 3.2 Novo desenvolvimento

A plataforma Tile-in-ONE está atualmente sendo utilizada pelos grupos de calibração e qualidade de dados do TileCal. Uma preocupação que surgiu ao longo do ano de 2014 foi a execução bem sucedida de códigos fonte sem avaliação prévia. Cada código que enfrenta falhas durante sua execução na máquina *slave* acaba consumindo recursos computacionais que podem comprometer o fluxo de dados da plataforma como um todo. A solução para tal questão levantada é estudada neste mestrado, fazendo uso de técnicas de mineração de códigos fonte, como abordado no capítulo 4.

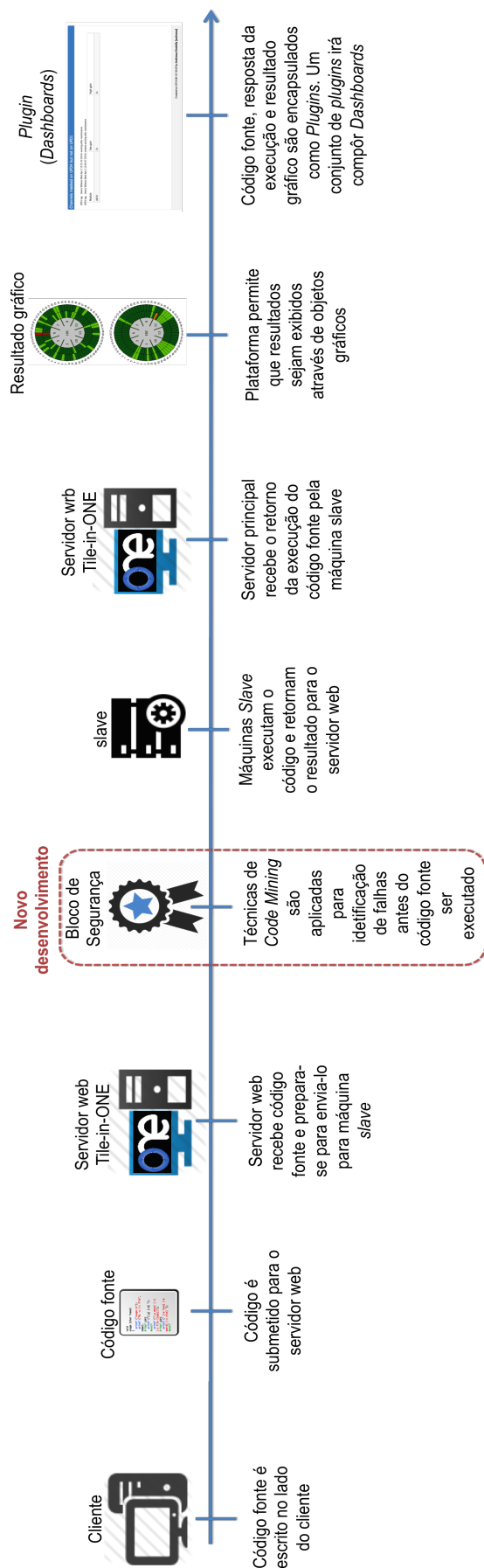


Figura 3.3: Fluxo de dados da plataforma web Tile-in-ONE.

## Capítulo 4

# Mineração de códigos fonte para identificação de falhas

### 4.1 Seleção de categorias

#### 4.1.1 Analisadores Estáticos

#### 4.1.2 Medidas estatísticas e de qualidade

### 4.2 Analisadores estáticos e Mineração de códigos no CERN



# Capítulo 5

## Metodologia

5.1 Aquisição de dados

5.2 Seleção de categorias

5.3 Métodos *ensemble* e Árvores de Decisão

5.4 Avaliação de classificadores

## Capítulo 6

## Resultados

# Capítulo 7

## Conclusões

# Referências Bibliográficas

- [1] “CDS - CERN Document Server”,  
Acessado em janeiro de 2016. [cds.cern.ch](http://cds.cern.ch).
- [2] “ATLAS Photos”,  
Acessado em janeiro de 2016. <http://www.atlas.ch/photos/>.
- [3] ATLAS COLLABORATION, *ATLAS: Technical Proposal for a General-Purpose pp Experiment at the Large Hadron Collider at CERN*, Tech. rep., CERN, 1994, CERN/LHCC 94-43.
- [4] ATLAS/TILE CALORIMETER COLLABORATION, *Tile Calorimeter Calorimeter Technical Design Report*, Tech. rep., CERN, 1996, CERN/LHCC 96-42.
- [5] BALABRAM, C. M. F. F. G. A. S. L., “Web System for Data Quality Assessment of Tile Calorimeter During the ATLAS Operation”, *Journal of Physics: Conference Series (JPCS)*, v. 331 - part 4, 2011.
- [6] “The European Laboratory for Particle Physics”,  
Acessado em janeiro de 2016. <http://www.cern.ch>.
- [7] “The Large Hadron Collider”,  
Acessado em janeiro de 2016. <http://lhc.web.cern.ch>.
- [8] GRIFFITHS, D., *Introduction to Elementary Particles*. John Wiley & Sons, 1987.
- [9] THE ALICE COLLABORATION, “The ALICE experiment at the CERN LHC”, *Journal of Instrumentation*, v. 3, n. 08, Aug. 2008.
- [10] THE CMS COLLABORATION, “The CMS experiment at the CERN LHC”, *Journal of Instrumentation*, v. 3, n. 08, Ago 2008.
- [11] SZUMLAK, T., “The LHCb experiment”, *Acta Physica Polonica. Series B: Elementary Particle Physics, Nuclear Physics, Statistical Physics, Theory of Relativity, Field Theory*, v. 41, n. 7, pp. 1661–1668, 2010.

- [12] “ATLAS *Factsheet*”,  
Acessado em janeiro de 2016.  
[http://www.atlas.ch/pdf/fact\\_sheet\\_1page.pdf](http://www.atlas.ch/pdf/fact_sheet_1page.pdf).
- [13] JENNI, P., NESSI, M., NORDBERG, M., et al., “ATLAS high-level trigger, data-acquisition and controls: Technical Design Report”, *Technical Design Report ATLAS. CERN, Geneva*, v. 42, 2003.
- [14] P. CALAFIURA AND W. LAVRIJSEN AND OTHERS, “The athena control framework in production, new developments and lessons learned”, *Journal of Physics: Conference Series*, pp. 456–458, 2004.
- [15] CORSO-RADU, A., HADAVAND, H., HAUSCHILD, M., et al., “Data Quality Monitoring Framework for the ATLAS Experiment at the LHC”, *IEEE Xplore Digital Library*, v. 55, 2008.
- [16] VERDUCCI, M., “ATLAS conditions database experience with the LCG COOL conditions database project”, *Journal of Physics: Conference Series (JPCS)*, v. 119 - part 4, 2008.
- [17] SIVOLELLA, A., MAIDANTCHIK, C., “The Monitoring and Calibration Web Systems for the ATLAS Tile Calorimeter Data Quality Analysis”, *Journal of Physics: Conference Series 052037, Computing High Energy Physics, New York, USA*, v. 396, pp. 8, May 2012.
- [18] MAIDANTCHIK, C., FERREIRA, F., GRAEL, F., “DCS Web System”, *Journal of Physics: Conference Series, Computing High Energy Physics, Praga, Rep. Tcheca*, pp. 8, March 2009.
- [19] “Python Programming Language”,  
Acessado em janeiro de 2016.  
<http://www.python.org/>.

# Apêndice A

## Alguns casos